

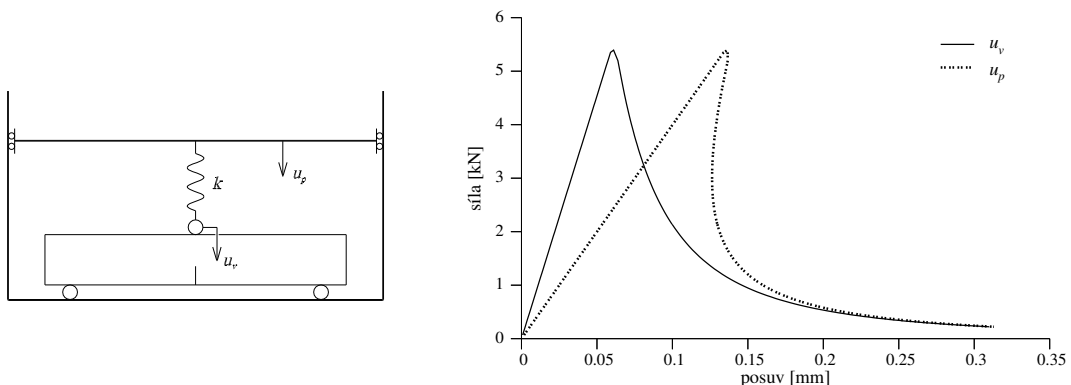
## DYNAMICKÁ SIMULACE LOMOVÉHO EXPERIMENTU

Petr Frantík<sup>1</sup>

**Abstrakt :** Příspěvek se zabývá modelováním lomového experimentu – tříbodového ohybu trámce se zářezem – pomocí dynamické simulace. Cílem bylo vystižení procesu katastrofické ztráty stability při zatěžování vnučeným posunem.

Díky lomovým experimentům se dovídáme více o vlastnostech a způsobu porušování materiálů a konstrukčních prvků. Kromě potřebných parametrů, jakými jsou tuhost či únosnost, nás zajímá lomová práce. Lomovou prací rozumíme přetvárnou práci, kterou je třeba vykonat, aby byl materiál resp. konstrukční prvek zcela porušen. Jedním ze způsobů jak se celková přetvárná práce měří, je kvazistatické zatěžování vnučeným posunem (tzv. *displacement-controlled loading*). Zaznamenává se aktuální posunutí a zatížení. Díky zatěžování vnučeným posunem je možno naměřit i sestupné větve zatěžovacího diagramu a stanovit tak složku přetvárné práce konané po překročení únosnosti.

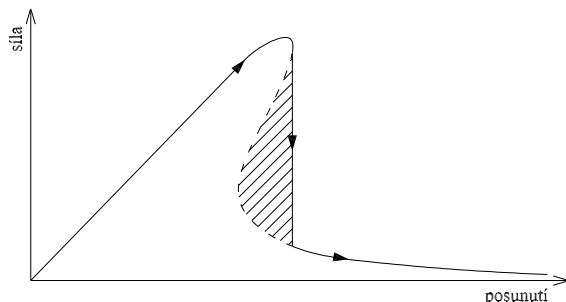
Zatěžování vnučeným posunem ovšem klade náročné požadavky na vlastnosti zatěžovací soupravy – lisu. Má-li zatěžování probíhat stabilně, je zapotřebí, aby lis absorboval co nejméně deformační energie, tj. musí mít dostatečnou tuhost. V případě, že lis není dostatečně tuhý, pak dochází ke kvalitativní změně zatěžovací dráhy nazývané *snapback*, viz např. [Bažant & Cedolin 1991]. Zatěžovací dráha se vlivem nízké tuhosti lisu deformuje a vzniká *záhyb*, viz obr. 1. Záhyb je v terminologii teorie katastrof [Arnold 1983] typická kubická singularita.



Obrázek 1: Vznik snapback efektu;  $u_p$  je posuv příčnicku lisu,  $u_v$  je posuv na testovaném vzorku

<sup>1</sup>Petr Frantík, Ing., Ph.D., Vysoké učení technické v Brně, Fakulta stavební, Ústav stavební mechaniky, Veveří 331/95, 602 00 Brno, e-mail: kitnarf@centrum.cz

Záhyb v zatěžovací dráze způsobí katastrofickou ztrátu stability, která bývá označována jako *snapdown* [Bažant & Cedolin 1991]. Dochází ke skoku v zatěžování a určitá část teoretické zatěžovací dráhy není naměřena, viz obr 2.



Obrázek 2: Katastrofický průběh zatěžování (efekt snapdown)

K záhybu v zatěžovací dráze dochází tehdy, je-li podkročena kritická hodnota tuhosti lisu, označme ji  $k_{z,cr}$  pro kterou platí:

$$k_{z,cr} = - \min \frac{dF_z}{du_v}, \quad (1)$$

kde  $F_z$  je kontaktní síla mezi hlavou lisu a vzorkem a  $u_v$  je posunutí vzorku. Podmínku vzniku záhybu na zatěžovací dráze tak můžeme psát ve tvaru:

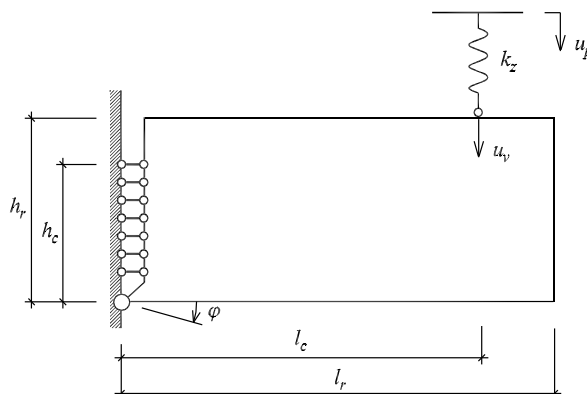
$$k_z < k_{z,cr}, \quad (2)$$

kde  $k_z$  je tuhost lisu. Slovně řečeno: pro vznik záhybu je nutné, aby tuhost lisu byla nižší, než záporně vztáá derivate na sestupné větvi teoretické zatěžovací dráhy vzorku.

V příspěvku se budeme věnovat modelování jevu snapdown pomocí dynamické simulace pro zjištění vlivu vlastností lisu a testovaného vzorku na průběh zatěžování. Jedná se konkrétně o lomový experiment na třibodovém ohybu trámce se zářezem vyrobeného z cementového kompozitu. Cílem bylo nalézt doporučení pro vyhodnocení lomových experimentů se snapdown efektem.

## 1 Model

Trámec se zářezem je pro účely simulace nahrazen modelem s jedním stupněm volnosti, který vznikl rozšířením statického modelu [Frantík 2004]. Je uvažována symetrická polovina trámce nahrazená tuhou deskou připojenou kloubem a tahovými vlákny, viz obr. 3. Vliv tuhosti lisu je vzat pouze lineární pružinou s tuhostí  $k_z$ . Stav modelu v čase  $t$  je jednoznačně určen pootočením desky  $\varphi(t)$ , úhlovou rychlostí  $\omega(t)$  a posunutím příčnicku lisu  $u_p(t)$ . Geometrie modelu je dána polovinou délky trámce  $l_r$ , polovinou rozpětí trámce  $l_c$ , výškou trámce  $t_r$  a účinnou výškou průřezu v místě zářezu  $l_c$ .



Obrázek 3: Model trámce se zářezem včetně pružiny reprezentující tuhost lisu

Uvažujeme-li malá přemístění trámce, potom svislé posunutí trámce  $u_v$ , měřené v místě připojení hlavy lisu (tj. průhyb trámce) lze stanovit ze vztahu (viz obr. 3):

$$u_v = \varphi l_c. \quad (3)$$

Sílu  $F_z$ , kterou lis působí na tuhous desku a odpovídající ohybový moment  $M_z$  vypočítáme ze vztahů:

$$F_z = k_z(u_p - u_v), \quad M_z = F_z l_c. \quad (4)$$

Pro sestavení pohybových rovnic dynamického systému, popisujícího model trámce s vlivem tuhosti lisu, potřebujeme rovněž vyjádřit působení tahových vláken, která nahrazují cementový kompozit v místě zářezu. Pro jednoduchost uvažujme, že v daném okamžiku  $t$  zatěžují vlákna tuhous desku ohybovým momentem  $M_v(t)$ . Stanovení velikosti momentu  $M_v(t)$  bude popsáno dále. Pohybové rovnice lze tedy zapsat ve tvaru:

$$\begin{aligned} \frac{d\varphi}{dt} &= \omega, \\ \frac{d\omega}{dt} &= \frac{1}{I_r} (l_c k_z (u_p - \varphi l_c) - M_v(t, \varphi) - c_\omega I_r \omega), \\ \frac{du_p}{dt} &= v_p, \end{aligned} \quad (5)$$

kde  $c_\omega$  je koeficient lineárního viskózního útlumu,  $v_p$  je rychlost posunu příčnicku lisu a  $I_r$  je moment setrvačnosti tuhous desky nahrazující trámec, pro který platí:

$$I_r = \frac{m_r}{3} (l_r^2 + h_r^2), \quad (6)$$

kde  $m_r$  je hmotnost trámce.

## 1.1 Vlákna

Vlákna reprezentují cementový kompozit v oblasti zářezu. Jejich vliv na pohyb tuhé desky zprostředkovává moment  $M_v$ , pro který lze psát:

$$M_v(t, \varphi) = \sum_{i=1}^{n_v} F_{v,i}(t, \varphi) r_i, \quad (7)$$

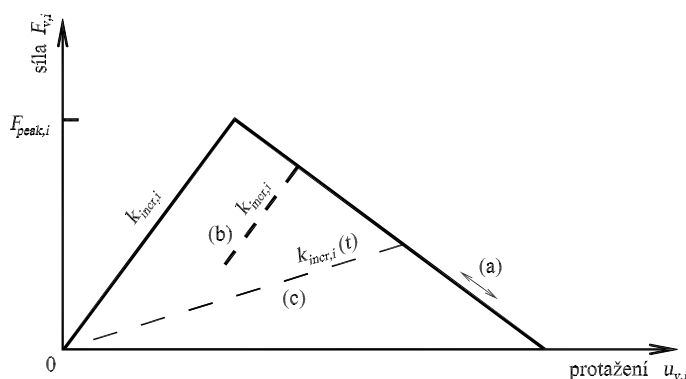
kde  $n_v$  je počet vláken,  $F_{v,i}(t, \varphi)$  je síla ve  $i$ -tém vláknu, působící ve vzdálenosti  $r_i$  od kloubu (viz obr 3). Pro sílu  $F_{v,i}(t, \varphi)$  platí:

$$F_{v,i}(t, \varphi) = f_i(t, u_{v,i}), \quad u_{v,i} = \varphi r_i, \quad (8)$$

kde  $f_i(t, u_{v,i})$  je funkce napjatosti  $i$ -tého vlákna. Funkce napjatosti, která je závislá na čase z důvodu uvažování nepružného působení vlákna je zde zvolena jako bilineární, se třemi způsoby odlehčení:

- dokonale pružné vlákno (při snižování protažení vlákna na sestupné větvi se zvyšuje síla ve vláknu), viz obr. 4 (a),
- vlákno s nevratnou deformací (po překročení maximální síly ve vláknu  $F_{peak,i}$  probíhá odlehčování po větvi rovnoběžné se sestupnou větvi nepoškozeného vlákna), viz obr. 4 (b),
- vlákno se snížením tuhosti (po překročení maximální síly ve vláknu  $F_{peak,i}$  probíhá odlehčování po vzestupné větvi jdoucí do počátku diagramu), viz obr. 4 (c).

Každé vlákno je dáno třemi parametry (viz obr. 4): tuhostí  $k_{incr,i}$ , pevností  $F_{peak,i}$  a velikostí celkové přetvárné práce  $W_i$  nutné pro přetržení vlákna.



Obrázek 4: Funkce napjatosti vlákna

Pro odstranění závislosti modelu na počtu vláken jsou definovány globální parametry: tuhost v tahu  $k_t$ , pevnost v tahu  $f_t$  a koeficient přetvárné práce  $c_w$ . Pro vystižení nehomogenity průřezu je uvažována variabilita tahové pevnosti vláken po výšce průřezu

(obdobně viz [Keršner et al. 2005]). Přepočítání globálních parametrů na parametry vláken je dán vztahy:

$$\begin{aligned}
 k_{incr,i} &= \frac{k_t}{n_v}, \\
 F_{peak,i} &= \frac{f_t}{n_v} \sum_{j=1}^{n_f} A_j \sin \left( j\pi \left( \frac{r_i}{h_c} + \theta_j \right) \right), \quad F_{peak,i} \geq 0, \\
 W_i &= c_w \frac{F_{peak,i}^2}{2k_{incr,i}},
 \end{aligned} \tag{9}$$

kde  $n_f$  je počet bázových funkcí reprezentujících variabilitu vlastností vláken po výšce průřezu,  $A_j$  je amplituda  $j$ -té bázové funkce,  $\theta_j$  je fázové posunutí  $j$ -té bázové funkce.

## 2 Aproximace experimentu

Pro ověření odezvy modelu a zjištění vlastností zatěžovací soupravy byly aproximovány výsledky dvou experimentů na trámci se zářezem. Experimenty byly provedeny lisem HECKERT FPZ 100/1 na FAST VUT v Brně Ing. Pavlem Schmidem, Ph.D. pro Ing. Ditu Matesovou, Ph.D.; Vyhodnocení jiných vzorků z těžce betonové směsi lze nalézt v [Matesová & Keršner 2006]. Parametry testovaných vzorků jsou uvedeny v tab. 1.

číslo	hmotnost $m_r$	délka $2l_r$	rozpětí $2l_c$	výška $h_r$	výška $h_c$
1	6876.5 g	483.7 mm	400 mm	78.64 mm	75.57 mm
2	6270 g	483.4 mm	400 mm	79.25 mm	53.45 mm

Tabulka 1: Parametry vzorků z cementového kompozitu

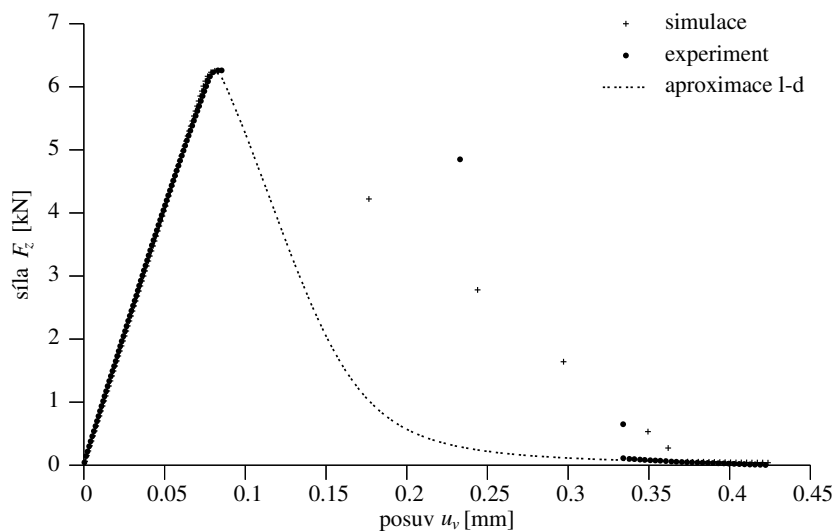
Výsledkem experimentů jsou vždy dvě časové řady, snímané v intervalu  $\Delta t = 0.2$  s: časová řada svislého posuvu na trámci  $u_v(t)$  a časová řada síly vyvozené lisem  $F_z(t)$ . Z těchto dvou časových řad lze snadno získat zatěžovací diagram (tzv.  $l$ - $d$  diagram) trámců, který je funkcí  $F_z(u_v)$ .

Naměřené  $l$ - $d$  diagramy  $F_z(u_v)$  byly užity pro aproximaci statických parametrů modelu: tahové tuhosti  $k_t$ , tahové pevnosti  $f_t$ , koeficientu přetvárné práce  $c_w$ , amplitud bázových funkcí  $A_{1,2}$  a fází bázových funkcí  $\theta_{1,2}$ . Aproximace byla provedena pomocí genetických algoritmů, viz např. [Čacka 2003]. Aproximované parametry modelu jsou uvedeny v tab. 2.

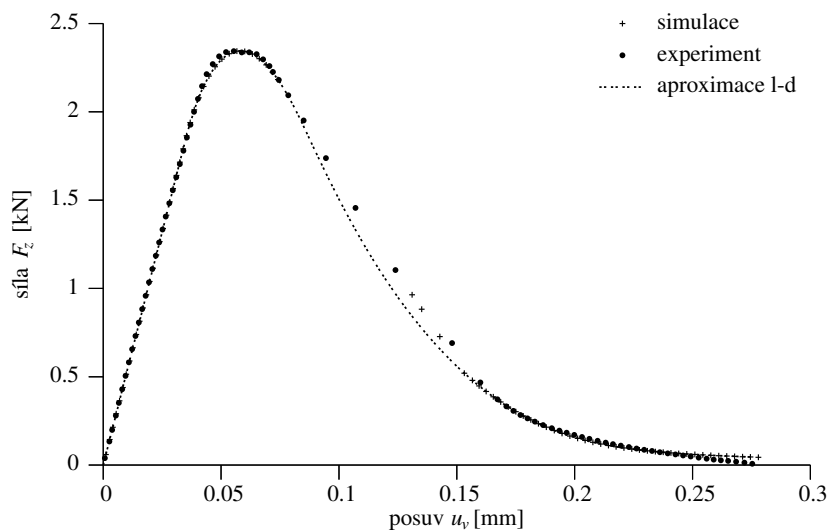
parametr	jednotka	vzorek č. 1	vzorek č. 2
$k_t$	kN.mm <sup>-1</sup>	1704.3	2213.7
$f_t$	kN	34.413	19.830
$c_w$	–	1.1811	2.4239
$A_1$	–	0.52568	-0.18220
$\theta_1$	–	-0.25242	0.65228
$A_2$	–	–	0.17107
$\theta_2$	–	–	0.63291

Tabulka 2: Aproximované statické parametry modelu pro oba vzorky

Na obr. 5 a 6 jsou vidět výsledné aproximace l-d diagramů obou vzorků včetně výsledku dynamické simulace s parametry: tuhost lisu  $k_z = 21.5 \text{ kN.mm}^{-1}$ , rychlost zatěžování  $v_z = 0.00126 \text{ mm.s}^{-1}$  a koeficient útlumu  $c_\omega = 4.58 \text{ kN.mm.s.kg}^{-1}$ . Použit byl model dokonale pružného vlákna, protože nejlépe odpovídal naměřeným datům, viz dále.



Obrázek 5: Naměřený l-d diagram vzorku č. 1 včetně aproximace a výsledku dynamické simulace



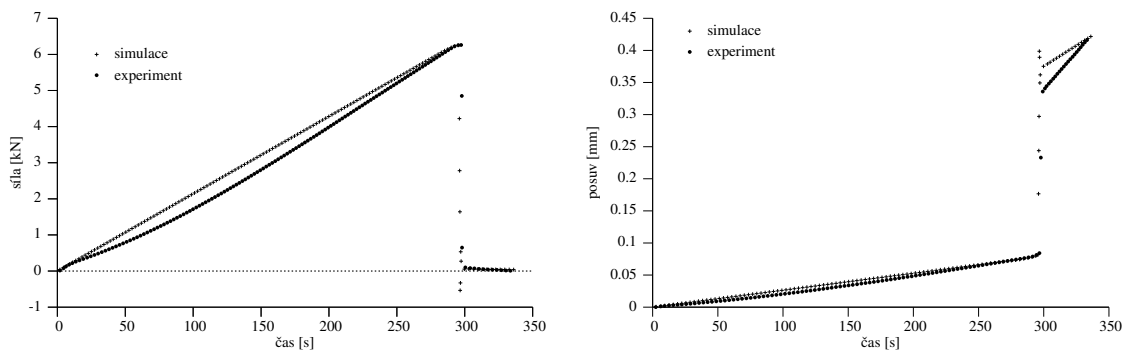
Obrázek 6: Naměřený l-d diagram vzorku č. 2 včetně aproximace a výsledku dynamické simulace

Vzorek č. 1 má počáteční ohybovou tuhost  $83.2 \text{ kN.mm}^{-1}$  (model  $81.2 \text{ kN.mm}^{-1}$ ), což představuje téměř  $3.9 \times$  vyšší tuhost než má lis. Vzorek č. 2, který má počáteční ohybovou tuhost  $53.1 \text{ kN.mm}^{-1}$  (model  $52.8 \text{ kN.mm}^{-1}$ ), je  $2.5 \times$  tužší než lis.

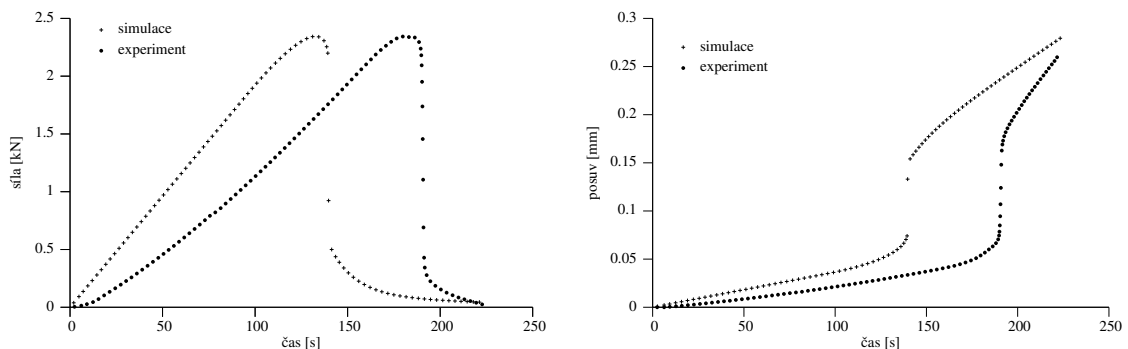
Z obr. 5 a 6 je patrné, jak se projevuje katastrofický průběh zatěžování, způsobený nízkou tuhostí lisu, na naměřeném l-d diagramu. Obzvláště v případě vzorku č. 1 je vidět výrazný skok v zatěžování. U druhého vzorku se natolik efekt snapdown neprojevil.

Více o průběhu zatěžování nám prozradí samotné časové řady, viz obr. 7 pro vzorek č. 1 a obr. 8 pro vzorek č. 2. Z grafů je patrné, že při zatěžování došlo v krátkém časovém úseku ke skoku naměřených hodnot, což jasně ukazuje na katastrofu. Body v bezprostředním okolí katastrofické události se tak pro vyhodnocení l-d diagramu trámců nedají použít.

Z časových řad je rovněž patrné, že rychlost zatěžování lisu (tj. rychlost posuvu příčniku  $v_p$ ) není konstantní. Popřípadě se v zatěžovací soustavě nachází člen, který nebyl vhodně vystižen. Tento závěr lze učinit díky následující tezi: Předpokládejme konstantní rychlost posuvu příčniku  $v_p$  včetně počáteční podmínky  $u_p(0) = 0$ . Je-li průběh sestupné větve l-d diagramů asymptotický pro  $u_v \rightarrow \infty$ , s asymptotou  $F_z = 0$  kN, pak asymptota časové řady posuvu trámce  $u_v$  pro  $t \rightarrow \infty$  je dána funkcí odpovídající posuvu příčniku  $u_p(t) = v_p t$ . Pohledem na grafy časových řad se můžeme přesvědčit, že ačkoliv u výsledků simulace tomu tak je, výsledky experimentů ukazují na proměnlivou rychlost zatěžování. Poznamenejme, že u vzorku č. 2 se výsledek simulace více rozchází s naměřenými časovými řadami, viz obr. 8.



Obrázek 7: Časové řady vzorku č. 1: síla v hlavě lisu  $F_z$  (vlevo), posuv trámce  $u_v$  (vpravo)



Obrázek 8: Časové řady vzorku č. 2: síla v hlavě lisu  $F_z$  (vlevo), posuv trámce  $u_v$  (vpravo)

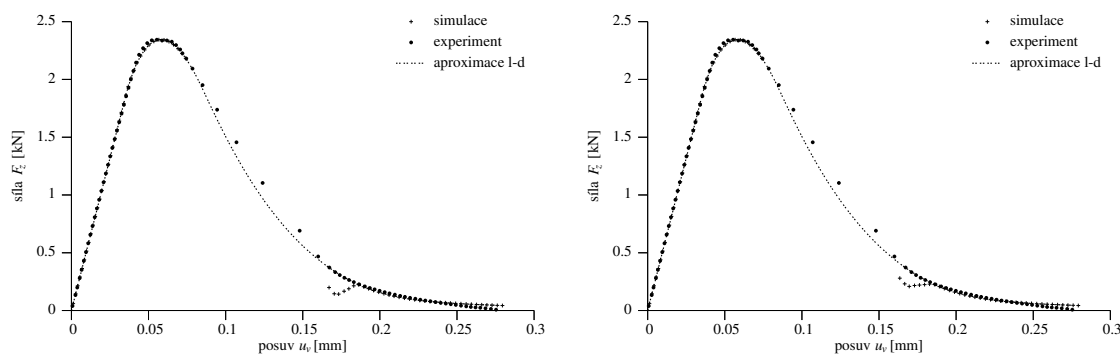
### 3 Parametrické studie

Výsledky dynamických simulací, uvedené v předchozí kapitole, byly získány díky studiu modelu při změně parametrů lisu, parametru tlumení a typu odlehčení vláken. Ukažme si, jaký vliv mají tyto parametry na výsledek simulace.

#### 3.1 Vliv způsobu odlehčení vláken

Odlíšné modelování odlehčení vláken má u lomového experimentu s konstantním přírůstkem posuvu lisu význam pouze v případě, dochází-li k rozkmitání zatěžovaného vzorku. Při pomalém tlumeném zatěžování může vzorek rozkmitat pouze některý druh náhlé změny, jakým je v našem případě rychlý pokles tuhosti vzorku.

Na obr. 9 je vidět srovnání odezvy při odlehčení vláken typu (b) a (c) pro vzorek č. 2. Odezva modelu při způsobu odlehčení (a) – dokonale pružné, je vidět výše na obr. 6. V případě vzorku č. 1 není vliv způsobu odlehčení patrný.



Obrázek 9: Srovnání výsledků simulace vzorku č. 2 při odlišných způsobech odlehčení vláken; vlevo je odlehčení typu (b) – s nevratným protažením, vpravo je odlehčení typu (c) – se sníženým sklonem při odlehčení

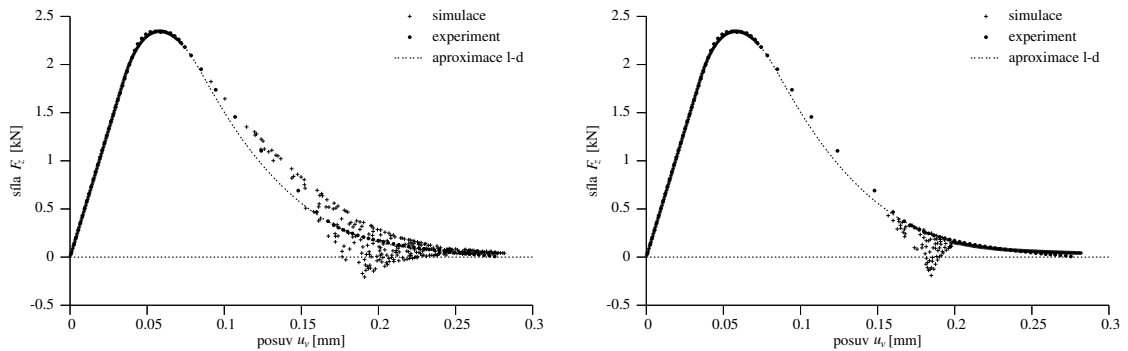
#### 3.2 Vliv útlumu

Na obr. 10 je vidět srovnání simulací vzorku č. 2 při nižší útlumu,  $c_\omega = 0.1 \text{ kN}\cdot\text{mm}\cdot\text{s}\cdot\text{kg}^{-1}$ , pro typ odlehčení (a) a (b), tj. dokonale pružné odlehčení a odlehčení s poškozením. Z grafu je patrné, že dokonale pružná vlákna mají tendenci více kmitat. Důležitým aspektem kmitání vláken dokonale pružných oproti vláknům nepružným je překmitnutí přes hodnotu l-d diagramu, viz obr. 10 vlevo (srovnej s průběhem vpravo).

#### 3.3 Vliv tuhosti lisu

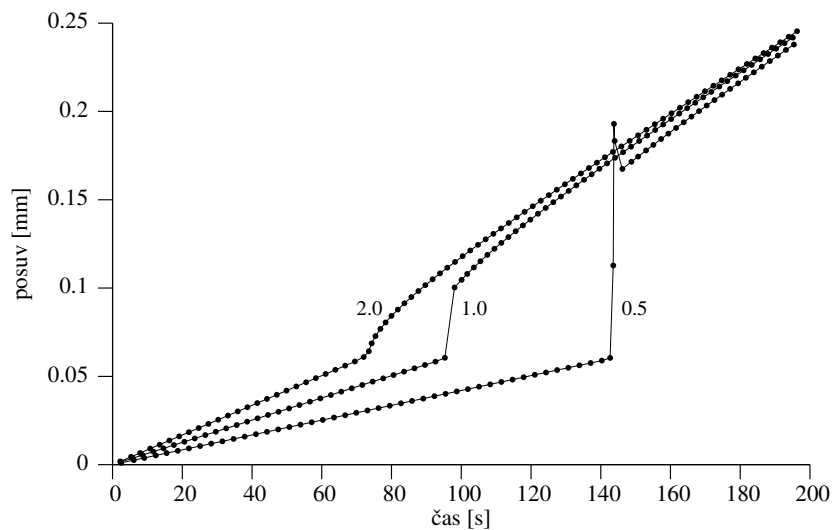
Obr. 11 znázorňuje průběh časové řady posuvu trámce  $u_v$  pro různé poměry tuhosti lisu  $k_z$  a počáteční tuhosti trámce. Zobrazeny jsou časové řady pro tři hodnoty poměrů tuhosti: 0.5, 1 a 2. Z hlediska snapdown efektu by bylo výstižnější vyjádřit tuhost lisu poměrem ke kritické hodnotě  $k_{z,cr}$ , viz vztah (1). Ovšem, stanovení této hodnoty je podmíněno





Obrázek 10: Srovnání výsledků simulace vzorku č. 2 při odlišných způsobech odlehčení vláken a při nižším koeficientu útlumu; vlevo je odlehčení typu (a) – dokonale pružné, vpravo je odlehčení typu (b) – s nevratným protažením

provedením experimentu. Proto byl zvolen poměr k počáteční tuhosti trámce, kterou je možno snadno výpočetně odhadnout, popř. experimentálně naměřit. Průběhy časových řad slouží proto pouze pro orientaci experimentátora, který odhaduje tuhost zatěžovací soupravy z naměřených časových řad.



Obrázek 11: Znázornění vlivu tuhosti lisu na průběh časové řady posuvu trámce  $u_v$ ; Jednotlivé řady jsou odlišeny poměrem tuhosti lisu  $k_z$  a počáteční tuhosti trámce

## 4 Závěr

V příspěvku byly prezentovány výsledky dynamické simulace lomových experimentů s konstantním přírůstkem posuvu s katastrofickou ztrátou stability (snapdown efektem). Pro

simulaci byl užít jednostupňový model lomu trámce při ohybu se zahrnutím vlivu tuhosti lisu pomocí přidané lineární pružiny. Simulace ukázaly, že zvolený model nepostihuje všechny efekty, které byly experimentálně naměřeny. Jeden z nesouladů je rychlost posuvu příčnicku lisu, která měla být konstantní. Druhým problémem je tlumení a jeho výstižnost. Pro zlepšení jeho reprezentace bude zřejmě třeba provést dynamické měření na lisu.

Experimentálně naměřeným datům kupodivu nejlépe odpovídá spíše materiál dokonale pružný (i na sestupné větvi), než materiál nepružný. Tento závěr si rovněž zaslouhuje další výzkum.

Nemůže-li se experimentátor vyhnout použití lisu a vzorku takového, že vzniká katastrofický průběh zatěžování, pak je vhodné analyzovat zejména časovou řadu posuvu vzorku. Z ní je patrné, které body byly naměřeny bez výrazných dynamických účinků. Pro vyhodnocení lomové práce může být dobrou pomůckou aproximace l-d diagramů pomocí použitého modelu.

## Poděkování

*Práce na příspěvku byly podporovány z prostředků projektu MŠMT 1K041111.*

*Chtěl bych rovněž vyjádřit poděkování kolegovi Miroslavu Vořechovskému za podnětné diskuze k tématu.*

## Literatura

- [Arnold 1983] Arnold, V. I., 1983: *Teória katastrof* (orig. Teorija katastrof, vydavateľstvo Moskevské univerzity 1983), vydavateľstvo Alfa, Bratislava
- [Bažant & Cedolin 1991] Bažant Z. P., Cedolin L., 1991: *Stability of Structures, Elastic, Inelastic, Fracture, and Damage Theories*, Oxford University Press, New York
- [Cacka 2003] Cacka, P., 2003: Vícekriteriální genetické algoritmy. Diplomová práce, Ústav automatizace a informatiky FSI VUT v Brně
- [Frantík 2004] Frantík, P., 2004: Jednoduchý model lomu trámce, Sborník semináře *Problémy lomové mechaniky IV.*, ÚFM AV ČR a STM FAST VUT v Brně, p. 21–27
- [Keršner et al. 2005] Keršner, Z., Frantík, P., Řoutil, L., Veselý, V., 2005: Approximation of bending fracture model by load-deflection diagrams, konference *Inženýrská mechanika 2005*, CD sborník, Svratka, 7 stran
- [Matesová & Keršner 2006] Matesová, D., Keršner, Z., 2006: Vliv vodního součinitele a typu uložení vzorků při zrání na lomové parametry betonu, CD sborník mezinárodní konference *Modelování v mechanice*, FAST VŠB-TU Ostrava, 8 stran